

(94) $\text{CaO}-\text{SiO}_2-\text{Al}_2\text{O}_3$ 三元系溶融スラブの相互拡散係数マトリックスの測定

東京工業大学 ○菅原英世 永田初宏 後藤利弘

I. 緒言；従来溶融スラブの拡散係数の測定は大部分トーラー拡散係数であり相互拡散係数の報告例はきわめて少ない。しかし、スラブ-メタル間の反応速度論的立場で考えれば相互拡散係数は非常に重要である。したがって、本研究では溶融スラブ中の相互拡散係数を測定するため、トーラー拡散係数擬二元相互拡散係数の測定されている $40\text{CaO}-40\text{SiO}_2-20\text{Al}_2\text{O}_3$ 三元系溶融スラブの相互拡散係数マトリックスを $1450^{\circ}\text{C} \sim 1550^{\circ}\text{C}$ の温度範囲で測定する事を目的とする。 $(D_{ik} \text{ は } j_i = -\sum D_{ik} \cdot dC_i / dX_i \text{ で定義される})$

II. 実験方法；拡散に使用した試料は所定の組成に混合した後、アルミナルツボで大気中で二度溶解して均一な組成のものを 4mm^3 の黒鉛管内に封入する。試料の粘性は高いので黒鉛管は真空ポンプで引いておいた。これを長さ約 10 mm にし拡散試料とした。拡散実験には拡散対法を用いた。容器は 4mm^3 の一端閉管のアルミニナ管を使用し組成の異なる試料を密着させ急熱溶融し、一定時間拡散を行なわせ拡散終了後拡散対を急冷凝固させる。拡散時間は、 $20, 40, 80$ 分で行った。拡散対は組成に関して 3 方向の対を用い、その中心は $40\text{CaO}-40\text{SiO}_2-20\text{Al}_2\text{O}_3$ 組成とした。実験後の試料を樹脂に埋め込み、エメリー紙で研磨後炭素を蒸着し、EPMAによって Ca, Al, Si の分析を行った。

III. 実験結果；分析によってそれぞれの拡散対の濃度プロファイルを計算する。その一例を図 1 に示す。これらのプロファイルから界面を決定し、Matano-Boltzmann の解析法により $40\text{CaO}-40\text{SiO}_2-20\text{Al}_2\text{O}_3$ の組成における相互拡散係数 D_{ik} を求めた。この結果を表 1 に示す。これは方向に依らずに本研究で用いた平均組成と温度において得られる。また図 2 にそれぞれの Diffusion path を示す。これによると、CaO が一番動きやすく、 $\text{Al}_2\text{O}_3, \text{SiO}_2$ の順になる事がわかる。さきに拡散距離についてでは固体と液体間の密度差などを考慮して補正を行っている。

IV. 考察；本研究の結果と大石の濃度プロファイル、Diffusion path と比較すると非常によく一致している。また、相互拡散係数 D_{ik} については、他に測定例がないので詳細な比較は出来ないが、本測定で得られた $D_{\text{CaO-CaO}}$ はほぼ等しく、 Al_2O_3 濃度は一定として擬二元相互拡散係数の報告値と近似的に一致した。

(参考文献) (1) Y. Oishi; Japan-USA Joint Symp. on Ceramics, 1972 (2) 井上・赤堀・部・後藤; 鉄と鋼 62 (1976) 9

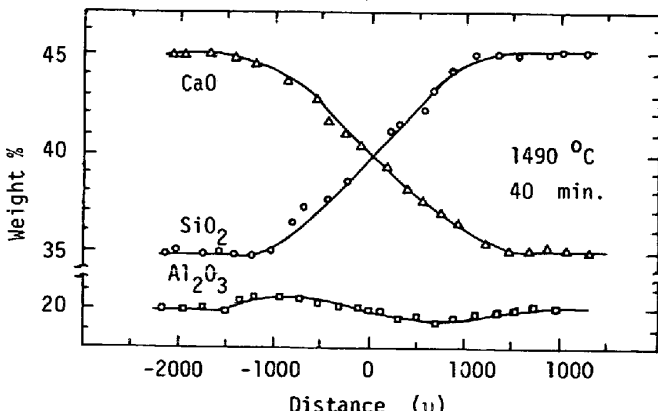


図 1 濃度-距離曲線

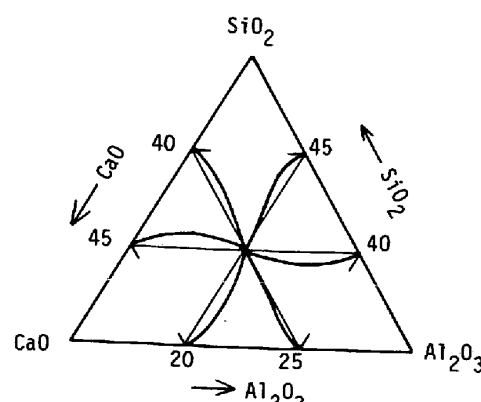


図 2 diffusion paths

| D_{ik} | (cm^2/sec) |
|---------------------------------|------------------------------|
| $D_{\text{CaO-CaO}}$ | 1.1×10^{-6} |
| $D_{\text{CaO-SiO}_2}$ | -4.5×10^{-7} |
| $D_{\text{SiO}_2-\text{CaO}}$ | 2.2×10^{-6} |
| $D_{\text{SiO}_2-\text{SiO}_2}$ | 1.2×10^{-6} |